

# Fenómenos críticos en sistemas luz-materia con interacciones colectivas de la materia

Proyecto de Investigación

Ricardo Herrera Romero  
Asesores: Dr. Miguel Ángel Bastarrachea Magnani  
Dr. Román Linares Romero

Universidad Autónoma Metropolitana  
Unidad Iztapalapa

19 de enero 2023



# Contenido

1 Introducción

2 Correspondencia Clásica

3 Superficies de Energía

4 Densidad de Estados

# Hamiltoniano de Dicke con Interacciones qubit-qubit

$$\hat{H}_D = \omega \hat{a}^\dagger \hat{a} + \omega_0 \hat{J}_z + \frac{\gamma}{\sqrt{N}} \left[ (\hat{a} \hat{J}_+ + \hat{a}^\dagger \hat{J}_-) + \xi (\hat{a}^\dagger \hat{J}_+ + \hat{a} \hat{J}_-) \right] \quad (1)$$

$$+ \frac{1}{N} \left( \eta_x \hat{J}_x^2 + \eta_y \hat{J}_y^2 + \eta_z \hat{J}_z^2 \right).$$

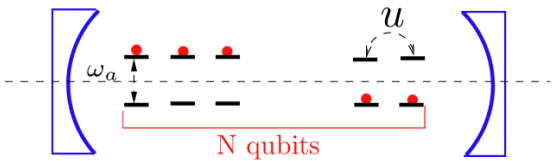


Figura: Yi-Xiang, Y., Ye, J., & Liu, W. M. (2013). Goldstone and Higgs modes of photons inside a cavity. Scientific reports, 3(1), 1-8.

Límite de Dicke  $\xi = 1$   
 Límite de Tavis Cummings  $\xi = 0$

## Interacciones qubit-qubit

- Sistemas atómicos con interacciones dipolares.

Chen, G., Zhao, D., & Chen, Z. (2006). Quantum phase transition for the Dicke model with the dipole–dipole interactions. *Journal of Physics B: Atomic, Molecular and Optical Physics*, 39(16), 3315.

- Efecto Stark en configuraciones optomecánicas.

Abdel-Rady, A. S., Hassan, S. S., Osman, A. N. A., & Salah, A. (2017). Evolution of Extended JC-Dicke Quantum Phase Transition with a Coupled Optical Cavity in Bose-Einstein Condensate System. *International Journal of Theoretical Physics*, 56(11), 3655-3666.

- Utilizar en circuitos y trampa de iones QED. Yuan, J. B., Lu, W. J., Song, Y. J., & Kuang, L. M. (2017). Single-impurity-induced Dicke quantum phase transition in a cavity-Bose-Einstein condensate. *Scientific Reports*, 7(1), 1-9.

## Transiciones de Fase Cuántica (QPT)

- QPT → se definen como cambios en las propiedades del estado base de un sistema cuántico.
- Ejemplo QPT en Dicke: Transiciones de fase superradiante.

¿Qué es una fase superradiante?

Se caracteriza por el valor de expectación diferente de cero del número de fotones cuando el acoplamiento luz-materia alcanza un valor crítico en el límite termodinámico.

Hepp, K., & Lieb, E. H. (1973). On the superradiant phase transition for molecules in a quantized radiation field: the Dicke maser model. *Annals of Physics*, 76(2), 360-404.

# Correspondencia clásica del Hamiltoniano

Consideraciones para la correspondencia clásica

- Límite Termodinámico  $N \rightarrow \infty$
- Límite Clásico  $\hbar \rightarrow 0$
- $N\hbar = \text{cte}$

El Hamiltoniano Clásico se obtiene tomando el valor de expectación con el producto tensorial de los estados coherentes de Glauber  $|z\rangle$  y Bloch  $|w\rangle$

$$|z\rangle \otimes |w\rangle = \frac{e^{-|z|^2/2}}{(1+|w|^2)^j} e^{z\hat{a}^\dagger} e^{w\hat{J}_+} |0\rangle \otimes |j, -j\rangle. \quad (2)$$

$$H_{cl}^{(\xi)}(z, w) = j^{-1} \langle z, w | \hat{H}_D | z, w \rangle =$$

$$H_{cl}^{(\xi)} = \frac{\omega}{2} (q^2 + p^2) + j_z \left( \omega_0 + \frac{\eta_z j_z}{2} \right) + \frac{1}{2} (1 - j_z^2) (\eta_x \cos^2 \phi + \eta_y \sin^2 \phi) + \quad (3)$$

$$+ \gamma \sqrt{1 - j_z^2} [(1 + \xi)q \cos \phi - (1 - \xi)p \sin \phi].$$

# Hamiltoniano Clásico

Para identificar las superficies de energía y los puntos fijos:

$$\dot{q} = \frac{\partial H_{cl}^{(\xi)}}{\partial p} = \omega p - \gamma \sqrt{1 - j_z^2} (1 - \xi) \sin \phi. \quad (4)$$

$$\dot{p} = -\frac{\partial H_{cl}^{(\xi)}}{\partial q} = -\omega q - \gamma \sqrt{1 - j_z^2} (1 + \xi) \cos \phi, \quad (5)$$

$$\dot{\phi} = \frac{\partial H_{cl}^{(\xi)}}{\partial j_z} = \omega_0 + \eta_z j_z - j_z (\eta_x \cos^2 \phi + \eta_y \sin^2 \phi) - \frac{\gamma j_z}{\sqrt{1 - j_z^2}} [(1 + \xi) q \cos \phi - (1 - \xi) p \sin \phi], \quad (6)$$

$$\dot{j}_z = -\frac{\partial H_{cl}^{(\xi)}}{\partial \phi} = (1 - j_z^2) (\eta_x - \eta_y) \cos \phi \sin \phi + \gamma \sqrt{1 - j_z^2} [(1 + \xi) q \sin \phi + (1 - \xi) p \cos \phi]. \quad (7)$$

## Superficies de Energía y sus extremos

Fase Normal:

Las coordenadas de los puntos estacionarios son:

$$(p_s, q_s, j_{zs}, \phi_s) = (0, 0, \pm 1, \text{indeterminate}) \quad (8)$$

la energía está dada por:

$$\epsilon_{\pm} = \pm 1 + \frac{\eta_z}{2\omega_0} \quad (9)$$

$j_{zs} = -1$  (estable),  $j_{zs} = +1$  (inestable)

$|j_{zs}| \leq 1$  espacio de fase disponible de la dinámica del pseudospín.

Fase Normal Deformada:

- La superficie de energía se deforma gracias a la influencia de las interacciones  $-x$  y  $-y \rightarrow$  la simetría rotacional se rompe.
- $j_z = \pm 1$  es invariante entre las interacciones qubit-qubit en las direcciones  $-x$  y  $-y$



# Superficie de energía

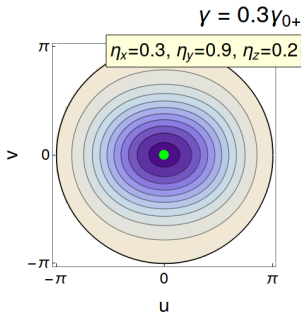


Figura: Fase Normal Deformada

$$u = \arccos(-j_z) \cos \phi$$

$$v = \arccos(-j_z) \sin \phi$$

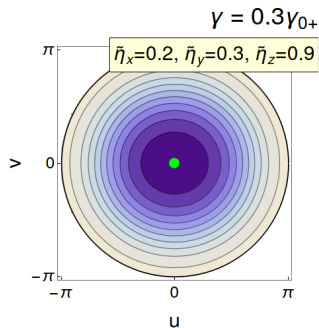


Figura: Fase Normal

$$\gamma_{0+} = \sqrt{\omega\omega_0}$$

● Punto estable

# Límite Tavis-Cummings $\xi = 0$

Fase Superradiante-x  $\eta_x \neq \eta_y$  y  $\cos \phi_s = \pm 1$  ( $\sin \phi_s = 0$ )  $\rightarrow p_s = 0$

$$j_{zs} = - \left( \frac{\eta_z - \eta_x}{\omega_0} + \frac{\gamma^2}{\omega\omega_0} \right)^{-1} = -\frac{1}{f_{0x}}, \quad f_{0x} = \frac{\Delta\eta_{zx}}{\omega_0} + f_{0+}, \quad (10)$$

Acoplamiento crítico

$$\gamma_{0x}^c = \gamma_0 + \sqrt{1 - \frac{\eta_z - \eta_x}{\omega_0}}. \quad (11)$$

Puntos fijos:

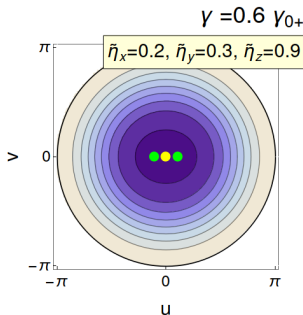
$$(p_s, q_s, j_{zs}, \phi_s) = \left( 0, \mp \frac{\gamma}{\omega} \sqrt{1 - \frac{1}{f_{0x}^2}}, -\frac{1}{f_{0x}}, \pi \text{ or } 0 \right), \quad (12)$$

Energía:

$$\epsilon_{s0x} = -\frac{1}{2} \left( f_{0x} + \frac{1}{f_{0x}} \right) + \frac{\eta_z}{2\omega_0}, \quad (13)$$

La fase está determinada por  $\eta_x$  independientemente de  $\eta_y$

# Superficies de energía



- Punto estable
- Punto silla

$$u = \arccos(-j_z) \cos \phi$$

$$v = \arccos(-j_z) \sin \phi$$

$$\gamma_{0+} = \sqrt{\omega\omega_0}$$

Figura: Fase Superradiante x, TC.

# Límite Tavis Cummings

Fase Superradiante-y

$$\eta_x \neq \eta_y \text{ y } \sin \phi_s = \pm 1 \text{ (} \cos \phi_s = 0 \text{)}, \rightarrow q_s = 0$$

$$j_{zs} = - \left( \frac{\eta_z - \eta_y}{\omega_0} + \frac{\gamma^2}{\omega \omega_0} \right)^{-1} = - \frac{1}{f_{0y}}, \quad f_{0y} = \frac{\Delta \eta_{zy}}{\omega_0} + f_{0+} \quad (14)$$

Acoplamiento Crítico:

$$\gamma_{0y}^c = \gamma_{0+} \sqrt{1 - \frac{\eta_z - \eta_y}{\omega_0}}. \quad (15)$$

Puntos fijos:

$$(\rho_s, q_s, j_{zs}, \phi_s) = \left( \pm \frac{\gamma}{\omega} \sqrt{1 - \frac{1}{f_{0y}^2}}, 0, -\frac{1}{f_{0y}}, \pm \frac{\pi}{2} \right). \quad (16)$$

Energía:

$$\epsilon_{s0y} = -\frac{1}{2} \left( f_{0y} + \frac{1}{f_{0y}} \right) + \frac{\eta_z}{2\omega_0}. \quad (17)$$

La fase está determinada por  $\eta_y$  independientemente de  $\eta_x$

# Superficies de Energía

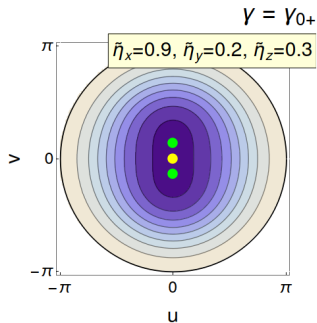


Figura: Fase superradiante y TC.

- Punto estable
- Punto silla

$$u = \arccos(-j_z) \cos \phi$$

$$v = \arccos(-j_z) \sin \phi$$

$$\gamma_{0+} = \sqrt{\omega\omega_0}$$

# Límite de Tavis Cummings

## Fases superpuestas.

Al combinar las interacciones de las direcciones  $-x$  y  $-y$  existe la posibilidad de que los puntos fijos de las diferentes direcciones aparezcan simultáneamente. Entonces hablaremos de una superposición de las fases.

- En fases superpuestas el mínimo de la superficie de energía solo le corresponderá a un conjunto de puntos fijos degenerados.
- El paso de una fase superradiante sola a una superposición de fases no va seguido de un QPT.
- Aunque el DoS cambie abruptamente anuncia el inicio de nuevos ESQPT's.

Ejemplo:

Cuando  $\eta_x$  toma relevancia en la transición de fase:

- Fase normal:  $\gamma \in [0, \gamma_{0x}^c]$
- Fase superradiante  $-x$ :  $\gamma \in [\gamma_{0x}^c, \gamma_{0y}^c]$
- Superposición fase superradiante  $-x, -y$ :  $\gamma \in [\gamma_{0y}^c, \infty]$

# Superficies de Energía TC

● Punto estable, ● Punto silla, ● Punto Inestable

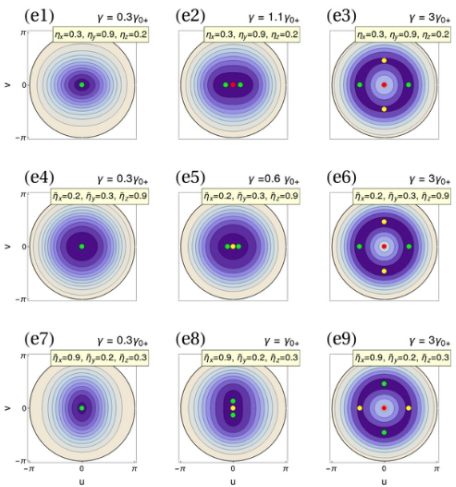
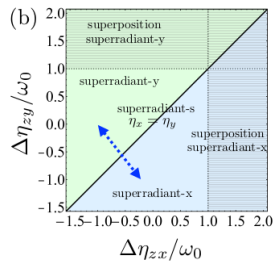
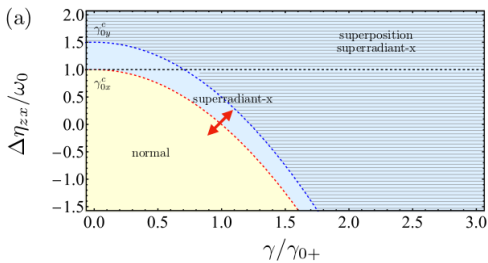


Figura: Herrera Romero, R., Bastarrachea-Magnani, M. A., & Linares, R. (2022). Critical Phenomena in Light-Matter Systems with Collective Matter Interactions. Entropy, 24(9), 1198.

# Superficies de Energía TC





# Límite de Dicke $\xi = 1$

Fase superradiante-x

$$j_{zs} = -\frac{1}{f_{1x}}, \quad f_{1x} = \frac{\Delta\eta_{zx}}{\omega_0} + f_{1+} \quad (18)$$

Acoplamiento crítico:

$$\gamma_{1x}^c = \gamma_{1+} \sqrt{1 - \frac{\Delta\eta_{zx}}{\omega_0}}. \quad (19)$$

Puntos fijos:

$$(p_s, q_s, j_{zs}, \phi_s) = \left( 0, \pm \frac{2\gamma}{\omega} \sqrt{1 - \frac{1}{f_{1x}^2}}, -\frac{1}{f_{1x}}, 0 \text{ or } \pi \right) \quad (20)$$

Energía:

$$\epsilon_{s1x} = -\frac{1}{2} \left( f_{1x} + \frac{1}{f_{1x}} \right) + \frac{\eta_z}{2\omega_0}. \quad (21)$$

# Límite de Dicke

Fase Deformada

$$j_{zs} = -\frac{\omega_0}{\Delta\eta_{zy}} = -\frac{1}{f_{1y}}, \quad (22)$$

¿Acoplamiento Crítico?

Puntos fijos:

$$(p_s, q_s, j_{zs}, \phi_s) = \left(0, 0, -\frac{1}{f_{1y}}, \pm\frac{\pi}{2}\right), \quad (23)$$

Energía mínima:

$$\epsilon_{s1y} = -\frac{1}{2f_{1y}} + \frac{\eta_y}{2\omega_0}, \quad (24)$$

# Superficies de energía

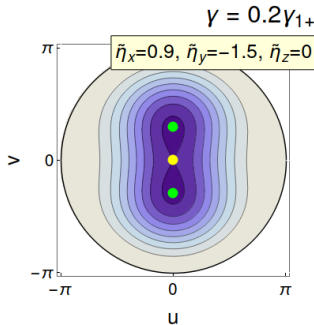


Figura: Fase Deformada Dicke

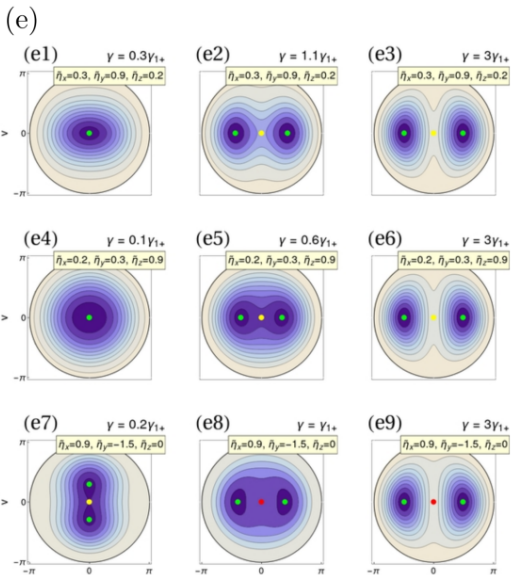
- Punto estable
- Punto silla

$$u = \arccos(-j_z) \cos \phi$$

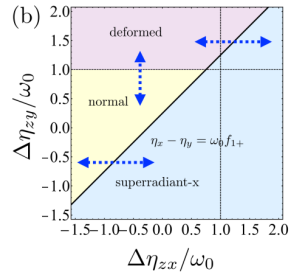
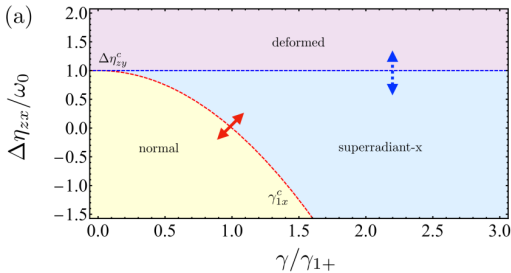
$$v = \arccos(-j_z) \sin \phi$$

$$\gamma_{1+} = \frac{\sqrt{\omega\omega_0}}{2}$$

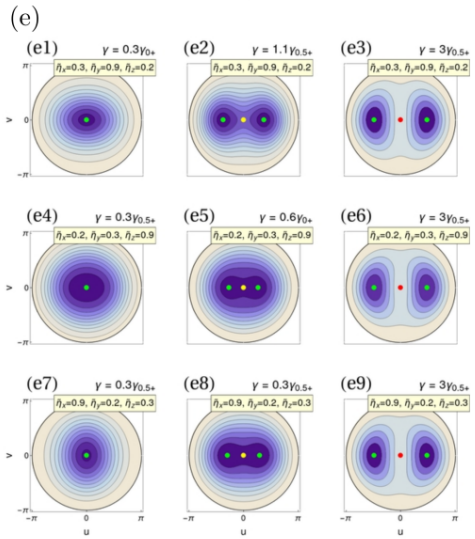
# Superficies de Energía Dicke



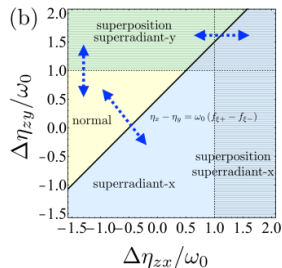
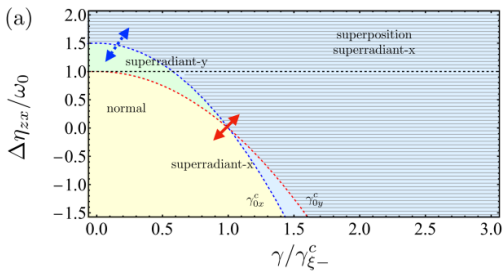
# Superficies de Energía Dicke



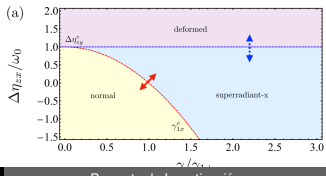
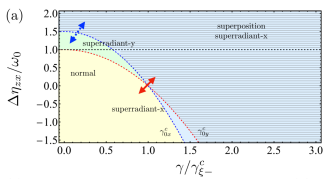
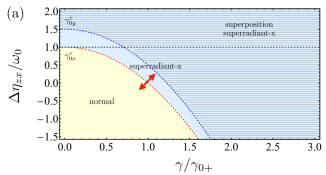
# Acoplamiento Arbitrario



# Acoplamiento Arbitrario



# Resumen Diagramas Fase





## Densidad de estados semiclásica

Calculamos el volumen de espacio fase disponible dada una energía:

$$\nu_{\xi}(\epsilon) = \frac{1}{(2\pi)^2} \int dq dp dj_z d\phi \delta \left[ \epsilon \omega_0 - H_{cl}^{\xi}(q, p, j_z, \phi) \right]. \quad (25)$$

$$\phi_{\xi} = \arccos \sqrt{g_{\xi}(j_z, \epsilon)} = \quad (26)$$

$$\arccos \left\{ \left[ \frac{2}{1 - j_z^2} \left[ \frac{\eta_z}{2\omega_0} j_z^2 + j_z - \epsilon \right] - \left( f_{\xi-} - \frac{\eta_y}{\omega_0} \right) \right]^{1/2} \left[ \left( f_{\xi+} - f_{\xi-} \right) - \left( \frac{\eta_x}{\omega_0} - \frac{\eta_y}{\omega_0} \right) \right]^{-1/2} \right\}.$$

## Valores límite $j_z$ y $\epsilon$

$$\cos \phi_{\pm} = \pm 1 \rightarrow$$

$$j_{z\xi}^{(\pm)}(\epsilon) = -\frac{1}{f_{\xi x}} \left[ 1 \mp \sqrt{2f_{\xi x}(\epsilon - \epsilon_{s\xi x})} \right] \quad (27)$$

$$\cos \phi_{1,2} = 0 \rightarrow$$

$$j_{z\xi}^{(1,2)}(\epsilon) = -\frac{1}{f_{\xi y}} \left[ 1 \mp \sqrt{2f_{\xi y}(\epsilon - \epsilon_{s\xi y})} \right]. \quad (28)$$

$$j_{zs} = \pm 1$$

$$\epsilon_{\pm} = \pm 1 + \frac{\eta z}{2\omega_0} \quad (29)$$

Ejemplo: Caso particular:  $\epsilon_{s\xi x} < \epsilon_{s\xi y}$

# Dominios de Energía

$$\frac{\omega}{2} \nu_{\xi}(\epsilon) = \begin{cases} \frac{1}{\pi} \int_{j_{z\xi}^{(-)}}^{j_{z\xi}^{(+)}} \phi_{\xi}(j_z, \epsilon) dj_z, & \epsilon_{s\xi x} \leq \epsilon \leq \epsilon_{s\xi y}, \text{ and } \gamma \in [\gamma_{\xi x}^c, \gamma_{\xi y}^c], \\ \frac{1}{\pi} \left[ \int_{j_{z\xi}^{(-)}}^{j_z^{(1)}} \phi_0(j_z, \epsilon) dj_z + \int_{j_{z\xi}^{(2)}}^{j_{z\xi}^{(+)}} \phi_0(j_z, \epsilon) dj_z \right] & \epsilon_{s\xi y} < \epsilon \leq \epsilon_-, \text{ and } \gamma \in [\gamma_{\xi y}^c, \infty], \\ \quad + \frac{1}{2} (j_{z\xi}^{(2)} - j_{z\xi}^{(1)}), & \\ \frac{1}{\pi} \int_{j_{z\xi}^{(1)}}^{j_{z\xi}^{(+)}} \phi_0(j_z, \epsilon) dj_z + \frac{1}{2} (j_{z\xi}^{(1)} + 1), & \epsilon_- < \epsilon \leq \epsilon_+, \text{ and } \gamma \in [0, \infty), \\ 1, & \epsilon_+ < \epsilon \text{ and } \gamma \in [0, \infty). \end{cases} \tag{30}$$

# Densidad de estados como función de la energía

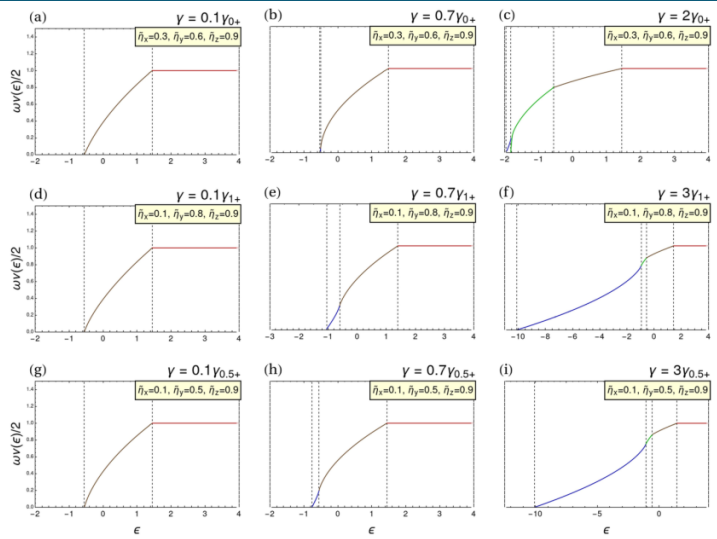


Figura: Densidad de estados  $\omega\nu_\xi(\epsilon)/2$  como función de la energía (Dominios de Energía)

# Conclusiones

- Se investigaron las fases cuánticas en un modelo de Dicke Generalizado.
  - Tavis-Cummings.
  - Dicke.
- Cada dirección  $\eta_j$  tiene un rol particular en el fenómeno crítico.
- Se confirman las transiciones de fase a través de las técnicas semiclásicas en las densidades de estado.

Gracias por su atención!!

email: [ricardo.h.romero@outlook.com](mailto:ricardo.h.romero@outlook.com)